



БИООРГАНИЧЕСКАЯ ХИМИЯ

том 14 * № 7 * 1988

УДК 547.993.02:595.443.8-114.5.088

АНТАГОНИСТЫ ГЛУТАМАТНЫХ РЕЦЕПТОРОВ ИЗ ЯДА ПАУКА *ARGIOPE LOBATA*

Гришин Е. В., Волкова Т. М., Арсеньев А. С.

Институт биоорганической химии им. М. М. Шемякина
Академии наук СССР, Москва

Из яда паука *Argiope lobata* посредством ионообменной и высокоэффективной хроматографии на обращенной фазе выделено семейство гомологичных низкомолекулярных соединений, блокирующих постсинаптические глутаматные рецепторы. Методами ЯМР и масс-спектроскопии определено строение девяти различных блокаторов. Показано, что по своим структурным характеристикам эти соединения могут быть разделены на три группы: аргиопин, аргиопинины и псевдоаргиопинины. Рассмотрены основные принципы структурной организации нового класса антагонистов глутаматных рецепторов.

Яды, продуцируемые некоторыми видами пауков, обладают блокирующими действием на глутаматные рецепторы нервной системы позвоночных и нервно-мышечной передачи членистоногих [1—3]. Ранее нами из яда паука *Argiope lobata* был выделен аргиопин, способный блокировать активируемые глутаматом постсинаптические ионные каналы [4, 5]. Настоящая работа посвящена выделению и структурному анализу других антагонистов глутаматных рецепторов из яда паука *A. lobata*. Все выделенные соединения обладают принципиально сходным с аргиопином механизмом действия, однако имеют некоторые особенности и разную эффективность взаимодействия с рецепторами глутамата. Результаты детального исследования механизма действия этих антагонистов глутаматных рецепторов из яда паука *A. lobata* будут опубликованы отдельно.

В настоящей работе для получения индивидуальных компонентов яда паука *A. lobata* в основном применялся метод, использованный для выделения аргиопина [4, 5]. Первоначально проводилось осаждение водного раствора цельного яда 60% этанолом. Супернатант, обладающий искомой биологической активностью, подвергался фракционированию с помощью ионообменной хроматографии на катионите. Фракция основных компонентов далее разделялась методом ВЭЖХ. При этом наиболее эффективное выделение индивидуальных компонентов достигалось при использовании обращенно-фазовой хроматографии на колонке TSK ODS 120T (рис. 1). Фракция 1 содержала аргиопин, химическая структура и биологическое действие которого охарактеризованы нами ранее [4, 5]. Фракции 3,7—9 представляли собой индивидуальные соединения, остальные компоненты были выделены при рехроматографии фракций 4—6 и 10 на колонке с обращенной фазой в аналогичных условиях. Таким образом, из яда паука *A. lobata* удалось получить девять различных соединений, все они обладали весьма сходной биологической активностью. Компоненты фракции 2 в настоящей работе не исследовались.

В табл. 1 приведены некоторые характеристики выделенных индивидуальных соединений. Результаты УФ-спектроскопии (рис. 2) позволили разделить компоненты яда в зависимости от характера входящей в их состав хромофорной группы на три различных типа: аргиопин, аргиопинины и псевдоаргиопинины. С помощью аминокислотного анализа в составе большинства этих веществ идентифицированы остатки аргинина и аспарагиновой кислоты, причем аргинин всегда обладал свободной α -аминогруппой. Молекулярные массы всех выделенных соединений были определены посредством масс-спектрометрии методом бомбардировки уско-

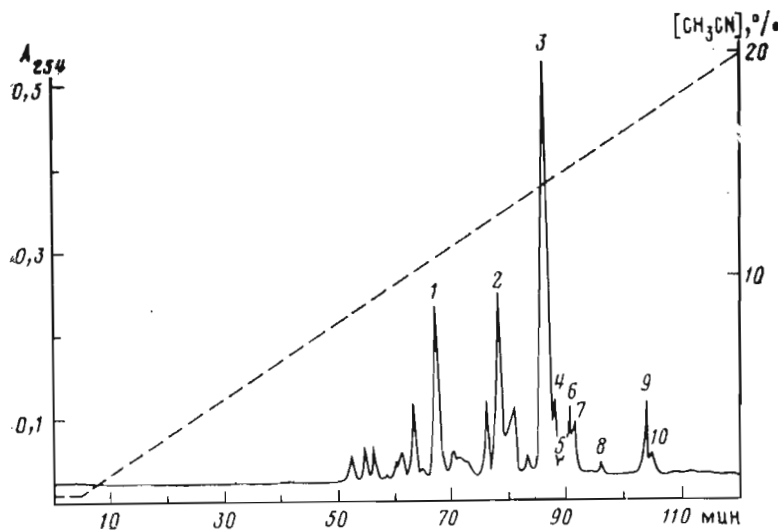


Рис. 1. Разделение компонентов яда *A. lobata* с помощью ВЭЖХ на колонке (22,5 × 250 мм) TSK ODS 120T в 0,1% трифторуксусной кислоте в градиенте концентрации ацетонитрила. Скорость элюции 10 мл/мин

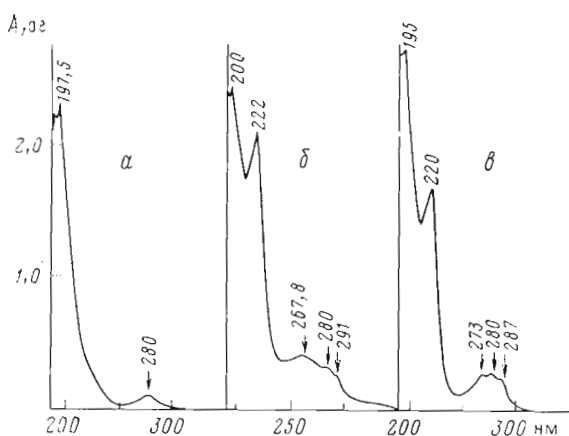


Рис. 2. УФ-спектры аргиопина (a), аргиопининов (б) и псевдоаргиопининов (в)

ренными атомами. Значения молекулярной массы большинства соединений находились в интервале 630—759 и только псевдоаргиопинин III обладал более низкой массой — 373. Молекулярные формулы выделенных соединений (табл. 1) рассчитывались после определения полной химической структуры.

Для установления строения компонентов яда паука *A. lobata* использовалась спектроскопия ^1H -ЯМР. Структурный анализ проводился по единой схеме, все конкретные детали которой рассмотрены на примере аргиопинина III. Принципиальной особенностью использованного подхода явилось применение двумерной спектроскопии типа 2QF-COSY для идентификации спиновых систем протонов и разностной спектроскопии ядерного эффекта Оверхаузера для определения последовательности спиновых систем в составе изучаемых соединений. Дополнительно использовалась информация о зависимости химических сдвигов сигналов протонов от величины рН среды, посредством которой анализировалась природа и положение в структуре ионогенных групп.

На рис. 3 представлен 2QF-COSY-спектр аргиопинина III в воде и указано отнесение кросс-пиков протонов, связанных скалярными спин-спиновыми взаимодействиями через две или три химические связи. Не-

Таблица 1

Характеристика компонентов яда паука *A. lobata*

Фракция	Название	Молекулярная масса *	Данные аминокислотного анализа	Максимумы поглощения в УФ-спектре, нм	Молекулярная формула **
1	Аргиопин	636	Asx, Arg	197,5; 280	C ₂₉ H ₅₂ N ₁₀ O ₆
6	Аргиопинина I	759	Asx, Arg	200; 222; 267,8; 280; 291	C ₃₆ H ₆₃ N ₁₂ O ₆
7	» II	744	Asx, Arg	200; 222; 267,8; 280; 291	C ₃₅ H ₆₀ N ₁₂ O ₆
3	» III	659	Asx, Arg	200; 222; 267,8; 280; 291	C ₃₁ H ₅₃ N ₁₁ O ₅
4	» IV	630	Arg	200; 222; 267,8; 280; 291	C ₃₁ H ₅₄ N ₁₀ O ₄
5	» V	658	Arg	200; 222; 267,8; 280; 291	C ₃₃ H ₅₈ N ₁₀ O ₄
9	Псевдоаргионин I	743	Asx, Arg	220; 273; 280; 287	C ₃₆ H ₆₃ N ₁₂ O ₅
10	» II	728	Asx, Arg	195; 220; 273; 280; 287	C ₃₅ H ₆₀ N ₁₂ O ₅
8	» III	373	Asx	220; 273; 280; 287	C ₁₉ H ₂₇ N ₅ O ₃

* Определена на основании масс-спектрометрических данных и структуры соединений. Для аргиопинина I и псевдоаргионинина I *m/z* молекулярного пика соответствует молекулярной массе, в остальных случаях в масс-спектре присутствуют пики протонированных молекулярных ионов.

** Рассчитана после определения полной химической структуры.

трудно видеть, что в состав изучаемой молекулы входят следующие спиновые системы протонов: — NH—C^αH—C^βH₂— (1); — HN—(CH₂)₅— (2); — (CH₂)₃— (3); — HN—(CH₂)₃— (4); — C^αH—(CH₂)₃—NH— (5); — CH₂— (6). Химические сдвиги сигналов протонов, входящих в состав указанных спиновых систем, приведены в табл. 2.

В одномерном спектре ¹Н-ЯМР аргиопинина III (рис. 4) дополнительно обнаружены сигналы амидной группы (7,52 и 6,81 м. д.), широкие сигналы аминогрупп (8,50 м. д., ~ 3 протонные единицы; 8,22 м. д., 4–5 протонных единиц; 6,75 м. д., ~ 4 протонные единицы), сигналы ароматических протонов NH (10,21 м. д., 1 протонная единица) и CH (7,26 м. д., 1 протонная единица; 7,14 м. д., 2 протонные единицы, 6,61 м. д., 1 протонная единица). Следует отметить, что, по данным 2QF-COSY-спектра, наблюдается спин-спиновое взаимодействие между ароматическими протонами NH и CH (7,26 м. д.), а также между протоном CH (6,61 м. д.) и протонами CH (7,14 м. д.).

Поскольку по результатам аминокислотного анализа в состав молекулы аргиопинина III входит остаток Asx, спиновая система 1 была отнесена к этому остатку. При этом данные по изучению рН-зависимости химических сдвигов сигналов протонов сидетельствуют об отсутствии карбоксильных групп. Следовательно, в аргиопинине III присутствует остаток аспарагина, сигналы амидной группы которого наблюдаются при 7,52 и 6,81 м. д.

Сигналы спиновой системы 5 и широкий сигнал интенсивностью 6 протонных единиц (6,75 м. д.) принадлежат протонам гуанидиновой группы остатка аргинина, тоже идентифицированного аминокислотным анализом.

Таблица 2

Химические сдвиги (δ, м. д.) протонов аргиопинина III в воде при pH 3,0 и 32° С

Спиновая система	NH	C ^α H	C ^β H ₂	Другие протоны
1	8,28	4,65	2,80	N ^b H ₂ : 7,52; 6,81
2	7,74	3,26; 3,14	1,41	C ^c H ₂ : 1,16; C ^d H ₂ : 1,55; C ^e H ₂ : 2,84; N ^f H ₂ : 8,22
3		3,18; 3,18	2,11	C ^c H ₂ : 3,08
4	8,62	3,46; 3,36	2,00	C ^c H ₂ : 3,45; N ^b H ₂ : 8,22
5		4,04	1,98	C ^c H ₂ : 4,74; C ^d H ₂ : 3,29; N ^e H ₂ : 7,27; C(NH ₂) ₂ ⁺ : 6,75
6		3,97; 3,89		N1H: 10,21; C2H: 7,26; C5H: 6,61; C6H: 7,14; C7H: 7,14

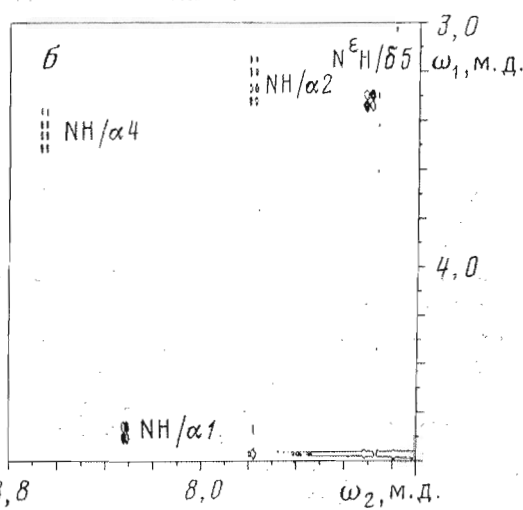
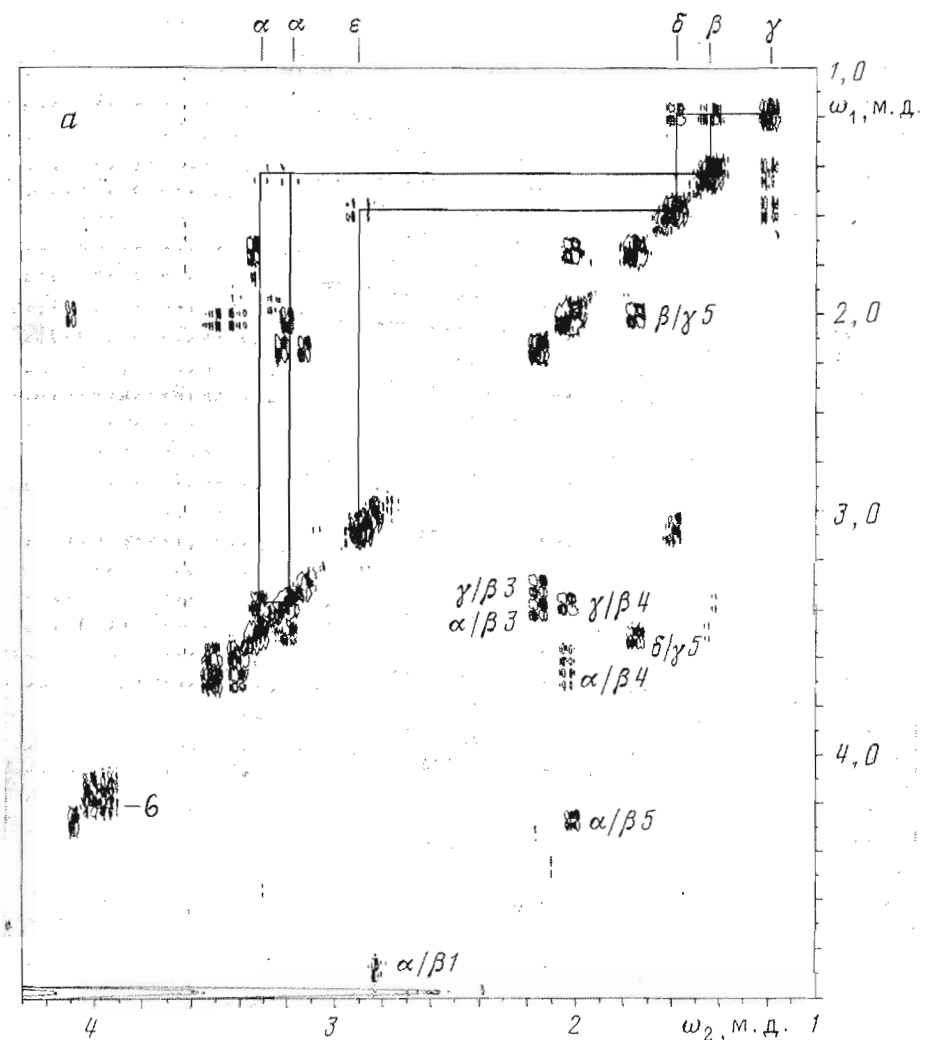


Рис. 3

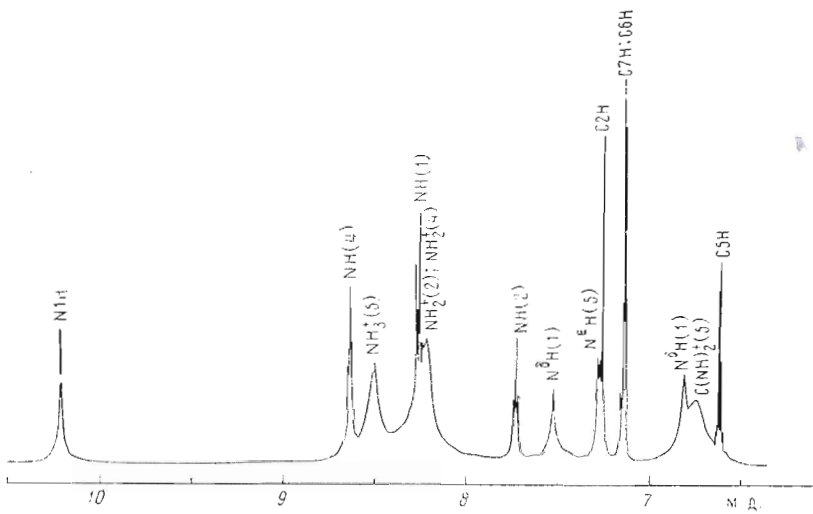


Рис. 4. Область 6,5—10,5 м. д. спектра ^1H -ЯМР 6,5 мМ раствора аргиопинина III в H_2O (рН 3; 30° С). Спектр получен без насыщения сигнала протонов H_2O как предложено в работе [6]. Здесь и далее цифрами в скобках указаны отнесения сигналов к спиновым системам протопов, приведенных в подписан к рис. 3

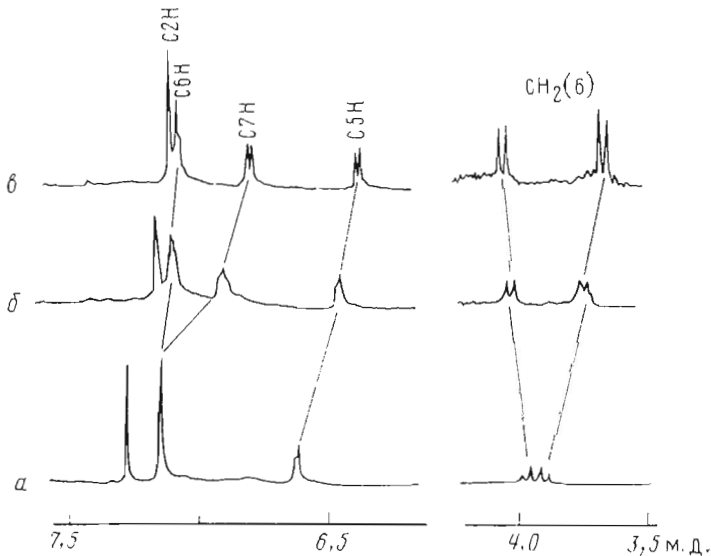


Рис. 5. Области сигналов ароматических протонов СII (слева) и протонов CH_2 -группы (справа) 6,5 мМ раствора аргиопинина III в D_2O (30° С) при значениях рН 8,57 (а), 10,98 (б), 12,02 (в)

Вероятно, широкий сигнал интенсивностью 3 протонные единицы (8,50 м. д.) относится к α -аминогруппе остатка аргинина. Изучение рН-зависимости химического сдвига сигнала протона C^αH аргинина позволило определить значение рК этой аминогруппы, равное $\sim 7,1$.

Ароматическая область спектра аргиопинина III при различных значениях рН представлена на рис. 5. При варьировании значений рН среды

Рис. 3. Двумерный 2QF-COSY-спектр 6,5 мМ раствора аргиопинина III в H_2O (рН 3; 30° С): а — алифатическая область спектра ($\omega_1 = 4,8$ —1,0 м.д., $\omega_2 = 4,3$ —1,0 м.д.); б — область спектра, в которой присутствуют кросс-пики с участием амидных протонов NH ($\omega_1 = 4,8$ —3,0 м.д., $\omega_2 = 8,8$ —7,1 м.д.). Цифры показывают спиновые системы протонов, обнаруженные в спектре: 1 — $\text{NH}-\text{C}^\alpha\text{H}-\text{C}^\beta\text{H}_2$; 2 — $\text{NH}-\text{C}^\alpha\text{H}-\text{C}^\beta\text{H}_2-\text{C}^\gamma\text{H}_2-\text{C}^\delta\text{H}_2-\text{C}^\epsilon\text{H}_2$; 3 — $\text{C}^\alpha\text{H}_2-\text{C}^\beta\text{H}_2-\text{C}^\gamma\text{H}_2$; 4 — $\text{NH}-\text{C}^\alpha\text{H}_2-\text{C}^\beta\text{H}_2-\text{C}^\gamma\text{H}_2$; 5 — $\text{C}^\alpha\text{H}-\text{C}^\beta\text{H}_2-\text{C}^\gamma\text{H}_2-\text{C}^\delta\text{H}_2-\text{N}^\epsilon\text{H}$; 6 — CH_2

от 8,57 до 12,02 происходит заметное изменение химических сдвигов сигналов протонов. Анализ спектра при pH 12,02 позволяет сделать вывод о наличии в исследуемой ароматической системе трех протонов, последовательно связанных друг с другом скалярным спин-спиновым взаимодействием. Сигнал протона NH при 10,21 м. д. (рис. 4) весьма характерен для индольной группы. Принимая во внимание спин-спиновое взаимодействие между протоном NH (10,21 м. д.) и CH (7,26 м. д.) и ядерный эффект Оверхаузера между протоном NH и одним из протонов CH (7,14 м. д.) (спектр не приведен), следует предположить существование в молекуле аргиопинина III остатка дизамещенного индола, в четвертом положении которого расположена ионогенная группа с $pK \sim 10,6$, а в третьем — CH₂-группа. В совокупности полученные результаты позволяют сделать вывод, что в составе аргиопинина III находится остаток 4-гидроксииндолилуксусной кислоты.

Для полной реконструкции структуры молекулы аргиопинина III использовалась разностная спектроскопия ядерного эффекта Оверхаузера. Так, было выяснено, что протон NH спиновой системы 4 и протоны C^aH и C^bH₂ остатка аргинина пространственно сближены (рис. 6). Поэтому эти фрагменты должны соединяться между собой пептидной связью. Аналогично наблюдается ядерный эффект Оверхаузера между NH-протоном остатка аспарагина и протонами CH₂-группы 4-гидроксииндолилуксусной кислоты. Остаток аспарагина и спиновая система 2 также связана между собой, так как в молекуле аргиопинина III отсутствует свободная карбоксильная группа, а NH-группа спиновой системы 2 принимает участие в образовании пептидной связи. В этом случае использование спектроскопии ядерного эффекта Оверхаузера не представлялось возможным из-за перекрытия сигнала протона C^aH водой. Тем не менее на основании всех вышеперечисленных данных удалось однозначно установить строение аргиопинина III (рис. 7).

Значительным структурным сходством с аргиопинином III обладают аргиопинины I и II. Однако в составе их молекул вместо спиновых систем 2 и 3 (рис. 3) идентифицированы системы протонов —NH—(CH₂)₅—NH и C^aH—(CH₂)₄, соответственно. Кроме того, в спектрах этих соединений наблюдались сигналы, характерные для метиламинов. В целом эти результаты, а также данные по pH-зависимости химических сдвигов сигналов протонов и по определению молекулярной массы позволили установить структуру аргиопининов I и II (рис. 7).

Особенностью строения аргиопининов IV и V является присутствие в их молекулах и N-метиллизина и N,N-диметиллизина соответственно. У всех других аргиопининов вместо этих модифицированных лизинов содержится остаток аспарагина. Так, в 2QF-COSY-спектре аргиопининов IV и V отсутствует спиновая система протонов аспарагина, но идентифицирована спиновая система NH—C^aH—(CH₂)₄, характерная для остатков лизина (данные не приведены). В спектре ¹H-ЯМР аргиопинина IV был обнаружен сигнал одной метильной группы при атоме азота. Однако при аминокислотном анализе данного соединения лизин не выявлен, поэтому было сделано заключение о наличии остатка N-метиллизина и, следовательно, определено строение всей молекулы аргиопинина IV (рис. 7). В спектре ¹H-ЯМР аргиопинина V были идентифицированы сигналы уже трех метильных групп при атомах азота, что также предоставило недостающую информацию для доказательства структуры этого соединения (рис. 7).

При анализе спектров ¹H-ЯМР псевдоаргиопининов в составе их молекул была обнаружена индолилуксусная кислота. Так, в 2QF-COSY-спектрах этих соединений найдены спиновые системы протонов C4H—C5H—C6H—C7H и N1H—C2H, причем между протонами N1H и C7H наблюдался ядерный эффект Оверхаузера. За исключением ароматической области спектров, спиновые системы аргиопинина I и псевдоаргиопинина I, а также аргиопинина II и псевдоаргиопинина II были абсолютно идентичны. Эти факты позволили однозначно определить строение псевдоаргиопининов I и II (рис. 8).

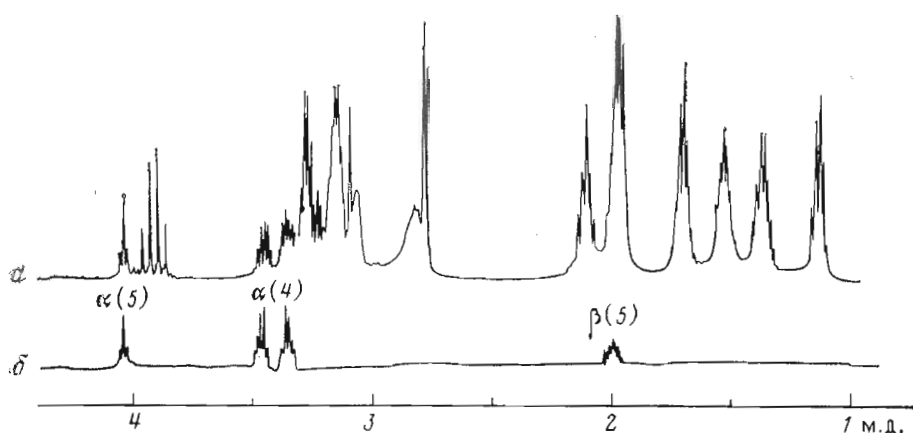


Рис. 6. Алифатическая область спектра 1,0—4,3 м. д. 6,5 мМ раствора аргиопанина III в H_2O (рН 3; 30° С) (а) и разностный спектр ядерного эффекта Оверхаузера, полученный при облучении протона NH (8,62 м. д., см. рис. 4) спиновой системы 4 (б)

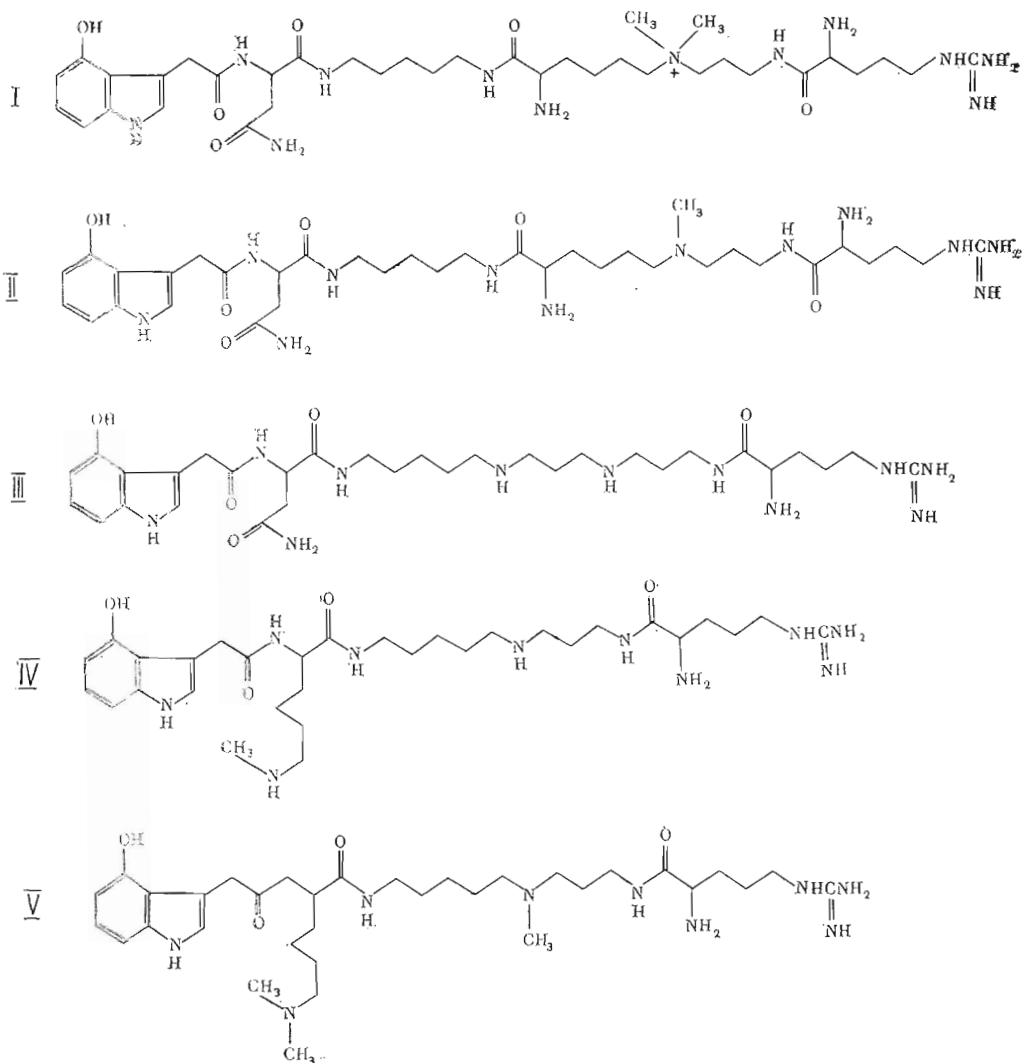


Рис. 7. Химические структуры аргиопанинов I—V

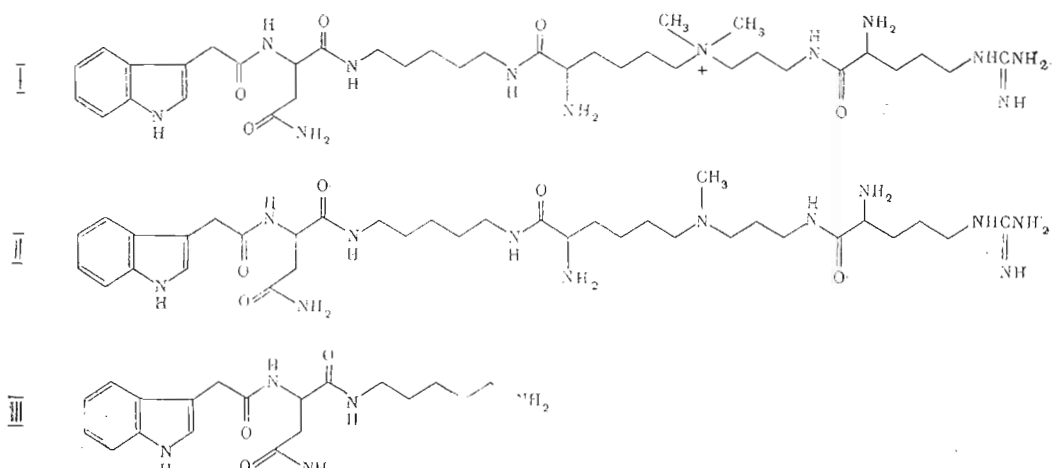


Рис. 8. Химические структуры псевдоаргиопининов I—III

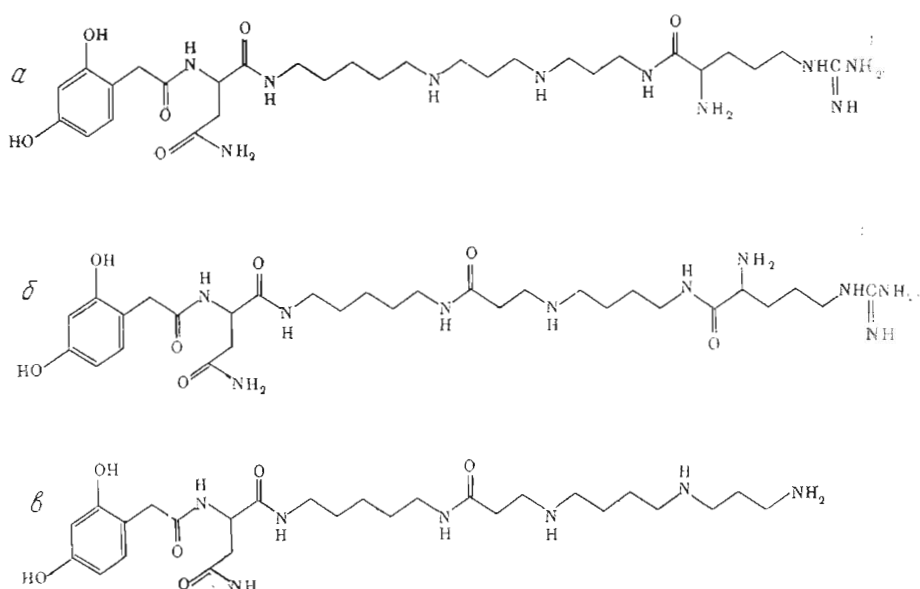


Рис. 9. Строение аргиопина (а), а также antagonистов глутаматных рецепторов яда пауков *N. maculata* NSTX-3 (δ) и *N. clavata* JSTX-3 (ε)

В спектрах ^1H -ЯМР псевдоаргиопинина III кроме остатков индолилуксусной кислоты и аспарагина была идентифицирована только спиновая система $\text{NH}-(\text{CH}_2)_5$. Кроме того, наблюдался широкий сигнал протонов аминогруппы. В молекуле этого соединения отсутствует свободная карбоксильная группа, следовательно, аспарагин посредством пептидных связей соединен с остатком индолилуксусной кислоты и с кадаверином (рис. 8).

Таким образом, антигистаминные препараты яда паука *A. lobata* имеют большую структурную гомологию. Все они, кроме псевдоаргиопинина III, имеют в своем составе остаток аргинина и алифатические полииамины. Для всех характерно наличие хромофорной группировки, сопряженной с аспарагином или модифицированным лизином. Этот фрагмент молекулы антигистаминных препаратов представляется наиболее важным для проявления биологической активности, поскольку псевдоаргиопинин III не содержит аргинина и части полииаминной структуры, но все еще обладает способностью блокировать рецепторы глутамата. Пока остается неясной роль гидроксильных остатков в хромофорной группе блокаторов, так как отсутствие их у псевдоаргиопининов не приводит к существенному снижению биологической активности.

В настоящее время помимо компонентов яда паука *A. lobata* установлена также структура блокаторов глутаматных рецепторов из яда пауков *Nephila maculata* (NSTX-3) и *N. clavata* (JSTX-3) [7, 8]. Эти антагонисты глутаматных рецепторов являются аналогами аргиопина и содержат в своем составе остаток 2,4-дигидроксифенилуксусной кислоты, соединенной посредством пептидной связи с аспарагинилкадаверином (рис. 9). Исследования синтетических производных позволили установить, что этот общий для всех блокаторов группы аргиопина фрагмент обладает биологической активностью. Однако удлинение полиаминной части сопровождается образованием более стабильного токсин-рецепторного комплекса и действие таких антагонистов глутаматных рецепторов становится практически необратимым [9]. Есть все основания полагать, что природные блокаторы глутаматных рецепторов из яда пауков и их синтетические аналоги будут ценными инструментами изучения мембранных рецепторов глутамата.

Экспериментальная часть

Цельный яд *A. lobata* получали из Среднеазиатского зонального зоокомбината. 500 мг лиофилизованного яда растворяли в 4 мл воды и после охлаждения до 4°С добавляли абсолютный этанол до 60%. Осадок отделяли центрифугированием в течение 10 мин при 5000 об./мин. Супернатант упаривали, растворяли в 0,02 М патрий-fosфатном буферсе, pH 6,5, наносили на колонку (1,5 × 7 см) с CM-Toyopearl 650S (Toyo Soda, Япония), предварительно уравновешенную тем же буфером [5]. Затем промывали колонку водой. Элюцию проводили 0,1% трифтормуксусной кислотой. Элюированную фракцию подвергали разделению методом ВЭЖХ (см. рис. 1). Рехроматографию фракций 4–6 и 10 осуществляли в идентичных условиях. Разделение проводили на жидкостном хроматографе Altex с ироточным спектрофотометром (модель 332) с объемом ячейки 8 мкл (Altex, США).

Аминокислотный анализ фракций яда осуществляли после 24-часового гидролиза в 6 н. HCl при 110°С на анализаторе D-500 (Durrum, США).

УФ-спектры выделенных соединений снимали на спектрофотометре Hitachi 150-20 (Hitachi, Япония).

Масс-спектры фракций яда получены на спектрометре MS-50TC (Kratos, Англия). Ионизация вещества проводилась в глицериновой матрице бомбардировкой ускоренными атомами ксенона с энергией 6–8 кэВ. В масс-спектре присутствовали пики молекулярных протонированных ионов, а в случае соединений, имеющих в молекуле четырехзамещенный азот, протонирования не происходило (аргиопин I и псевдоаргиопин I) и *m/z* пика соответствовал молекулярной массе.

Для определения pH в приготовленных образцах использовали pH-метр типа Orion 601 (Orion Research, США) с комбинированным электродом Ingold 405 МЗ. Приведенные значения pH соответствуют прямым измерениям прибора. Для изменения pH использовали 0,1 н. растворы NaOH и ²HCl.

Спектры ¹H-ЯМР (500 МГц) 0,3–1,5 мг фракций яда, растворенных в 0,35 мл H₂O или ²H₂O, снимали на спектрометре WM 500 (Bruker, ФРГ). Двумерные фазоизбирательные корреляционные спектры с двухквантовым фильтром DQF-COSY получены как описано в работе [10]. В каждом эксперименте после окончания времени *t*₂ перед началом следующей серии импульсов следовал временной интервал в 1,2 с для достижения равновесного состояния ядерной намагниченности. Для уменьшения динамического диапазона спектров сигнал растворителя (H₂O) насыщали селективным радиочастотным импульсом в течение всего эксперимента, за исключением времени наблюдения сигнала, *t*₂. Матрицы данных во временной области *t*₁ × *t*₂ имели размерность 512 × 4096 точек и перед преобразованием Фурье дополнялись нулями таким образом, чтобы цифровое разрешение составляло 0,76 и 2,44 Гц на точку для направлений ω_1 и ω_2 соответственно. Разностные спектры ядерного эффекта Оверхаузера получены с помощью импульсной последовательности (D1 — D2(F1) — 90° — AQ⁺ — D1 — D2(F2) — 90° — AQ⁻)_n, где D1 = 1,2 с — интервал времени для приведения спиновой системы ядер к равновесному состоянию, D2(F1) и D2(F2) — интервалы времени 0,8 с соответственно для селективного насыщения резонанса протона радиочастотой F1 и для облучения свободного от сигналов участка спектра радиочастотой F2. После неселективного 90-градусного радиочастотного импульса происходило суммирование во время AQ⁺ = 0,8 с или вычитание во время AQ⁻ = 0,8 с синода индуцированного сигнала. Для увеличения отношения сигнал — шум эксперимент повторяли *n* = 2048 раз.

ЛITERATURA

1. Kawai N., Niwa A., Abe T. // Brain Res. 1982. V. 247. № 1. P. 169—171.
2. Усманов П. Б., Каликулов Д., Шадыева И., Таишмухамедов Б. А. // Докл. АН СССР. 1983. Т. 273. № 4. С. 1017—1018.
3. Uscherville P. N. R., Duce J. R., Boden P. // J. physiol. 1984. V. 79. № 4. P. 241—245.

4. Гришин Е. В., Волкова Т. М., Арсеньев А. С., Решетова О. С., Оноприченко В. В., Магазаник Л. Г., Антонов С. М., Федорова И. М. // Биоорганическая химия. 1986. Т. 12. № 8. С. 1121—1124.
5. Магазаник Л. Г., Антонов С. М., Федорова И. М., Волкова Т. М., Гришин Е. В. // Биологические мембранные. 1986. Т. 3. № 12. С. 1204—1219.
6. Plateau P., Gueron M. // J. Amer. Chem. Soc. 1982. V. 104. № 25. P. 7310—7311.
7. Aramaki Y., Yasuhara T., Higashijima T., Yoshioka M., Miwa A., Kawai N., Nakajima T. // Proc. Jap. Acad. 1986. V. 62(B). № 9. P. 359—362.
8. Aramaki Y., Yasuhara T., Higashijima T., Miwa A., Kawai N., Nakajima T. // Biomed. Res. 1987. V. 8. № 3. P. 167—173.
9. Hashimoto Y., Endo Y., Shudo K., Aramaki Y., Kawai N., Nakajima T. // Tetrahedron Lett. 1987. V. 28. № 30. P. 3511—3514.
10. Rance M., Sorensen O. W., Bodenhausen G., Wagner G., Ernst R. R., Wüthrich K. // Biochem. and Biophys. Res. Commun. 1983. V. 117. № 2. P. 479—485.

Поступила в редакцию
9.II.1988

ANTAGONISTS OF GLUTAMATE RECEPTORS FROM THE VENOM OF *ARGIOPE LOBATA* SPIDER

GRISHIN E. V., VOLKOVA T. M., ARSENIEV A. S.

*M. M. Shemyakin Institute of Bioorganic Chemistry,
Academy of Sciences of the USSR, Moscow*

Homologous low molecular weight compounds blocking postsynaptic glutamate receptors were isolated from the *Argiope lobata* spider venom by ion-exchange chromatography and reverse-phase HPLC. Structures of nine different blocking agents were determined by NMR and mass spectroscopy. They can be divided into three groups: argiopin, argiopinins and pseudoargiopinines. The major principles of the structural organization of the novel class of antagonists of glutamate receptors were considered.